Validation par analyse statique

Deuxième partie : Interprétation abstraite, cours 1/3

Pierre Roux

ONERA

Cours commun ENSEEIHT 3A et Master SRLC
2013-2014

Page du cours : `http://perso.ens-lyon.fr/pierre.roux/vas_2013_2014/`

L'interprétation abstraite d'un coup d'oeil

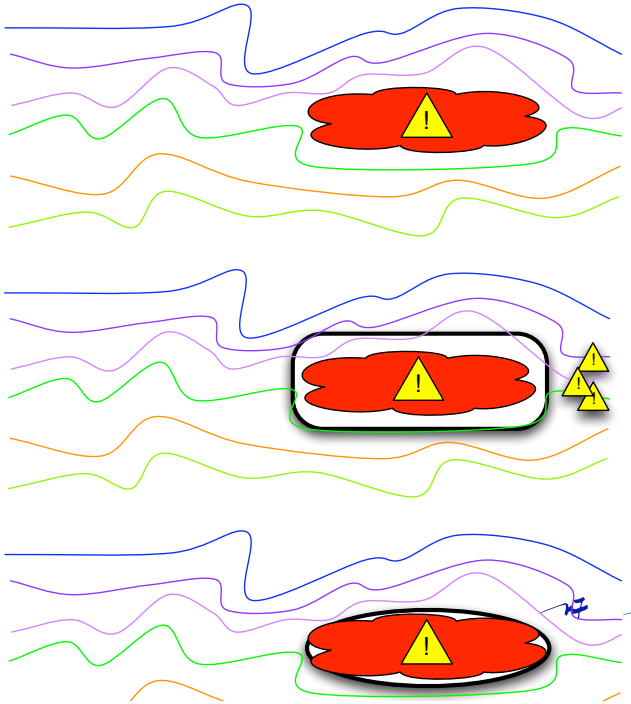

Plan des 3 cours sur l'interprétation abstraite

1. Introduction à l'interprétation abstraite (aujourd'hui)
   - Exemple graphique
   - Sémantique collectrice d'un langage *C*-like
2. Abstractions numériques simples (demain + 3 TP)
   - domaine des signes
   - domaine des constantes
   - intervalles et accélération de convergence
3. Abstractions numériques relationnelles et bref état de l'art (semaine prochaine)
   - domaine des polyèdres
   - aperçu d'autres analyses
   - quelques outils et applications

Un exemple graphique

But : donner les intuitions sur les principes généraux.

+ simple et intuitif
– peu formel

Exemple extrait du cours de L. Mauborgne à l'EJCP'06.

Objets

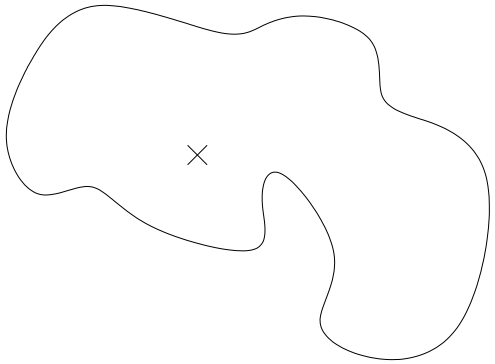

Définition

Un *objet* est défini par :

1. une origine (un point du plan)
2. un ensemble de points

Un objet : une fleur

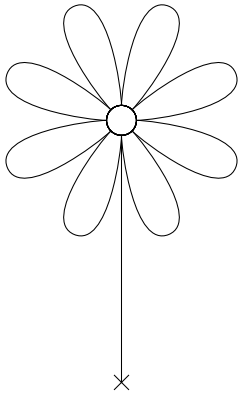

Des outils pour ce langage

Pour définir des objets, et les manipuler, nous avons besoin :

- d'objets de base (primitives, constantes)
- de fonctions pour les modifier

Constante : objet pétale

pétale =

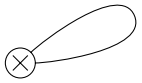

Fonction : rotation

Définition

r[a](o) est la rotation d'angle a de l'objet o autour de son origine.

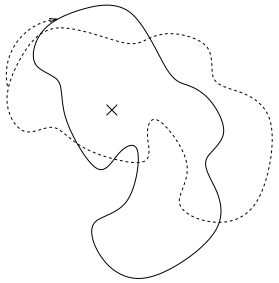

Exemples de rotations

pétale =

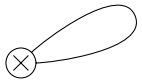

r[45](pétale) =

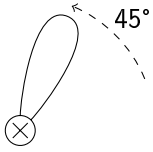

fleur =

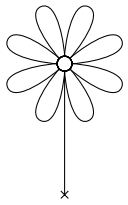

r[−60](fleur) =

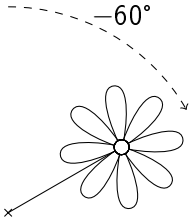

Fonction : union d'objets

Définition

$o_1 \sqcup o_2$ est l'union des objets o_1 et o_2 à l'origine.

corolle = pétale ⊔ r[45](pétale) ⊔ r[90](pétale) ⊔
r[135](pétale) ⊔ r[180](pétale) ⊔ r[225](pétale) ⊔
r[270](pétale) ⊔ r[315](pétale)

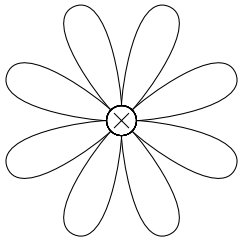

Fonction : tige

Définition

$\mathrm{tige}(o)$ ajoute une tige à o en partant de l'origine et déplace ensuite l'origine au bas de la tige.

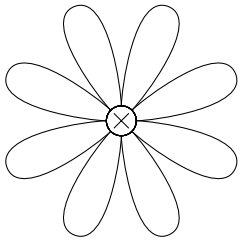

corolle

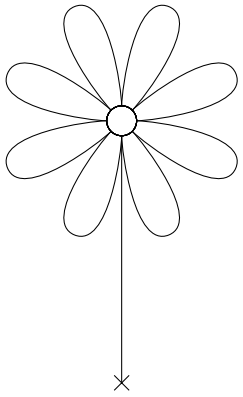

fleur = tige(corolle)

Construction de l'objet bouquet

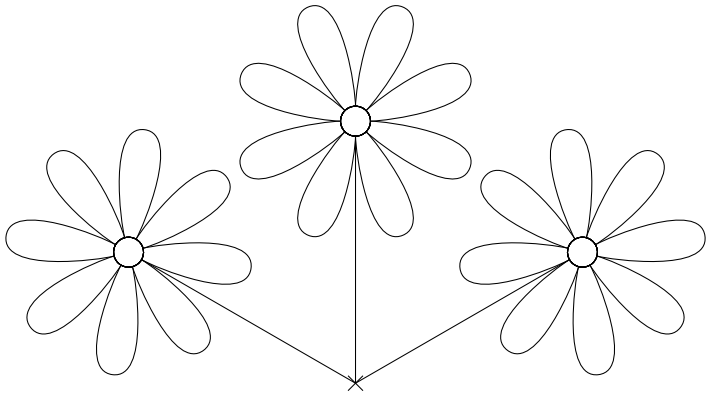

bouquet = $\mathrm{r}[60]$(fleur) $\sqcup$ fleur $\sqcup$ $\mathrm{r}[-60]$(fleur)

La corolle construite de façon itérative...

1. prendre un pétale (x := pétale)
2. effectuet une rotation de 45 degré (x := $\mathrm{r}[45]$(x))
3. faire l'union avec pétale (x := $x \sqcup$ pétale)
4. retourner en 2

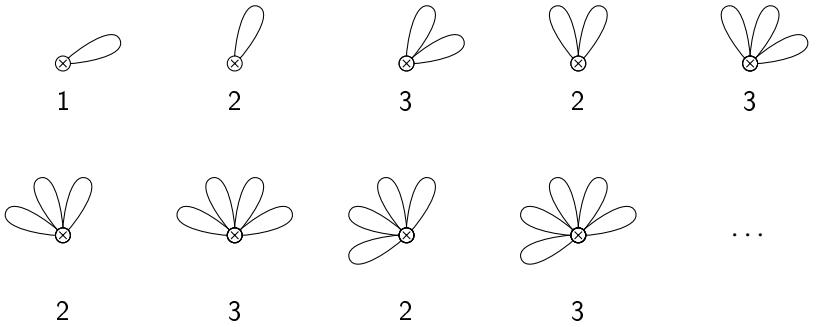

...est un point fixe

1. prendre un pétale ($x :=$ pétale)
2. effectuet une rotation de 45 degré ($x := \mathrm{r}[45](x)$)
3. faire l'union avec pétale ($x := x \cup$ pétale)
4. retourner en 2

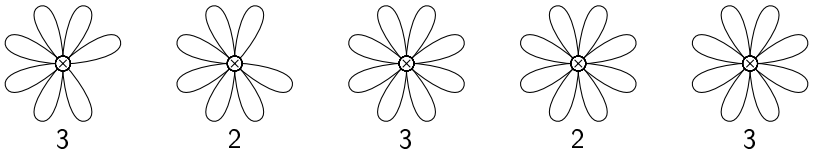

Définition (corolle)

C'est le plus petit objet X tel que :

- pétale $\subseteq X$
- $\mathrm{r}[45](X) \sqcup$ pétale $\subseteq X$.

Noté : corolle $= \mathrm{lfp}(X \mapsto \text{pétale} \sqcup \mathrm{r}[45](X))$

Concret — abstrait

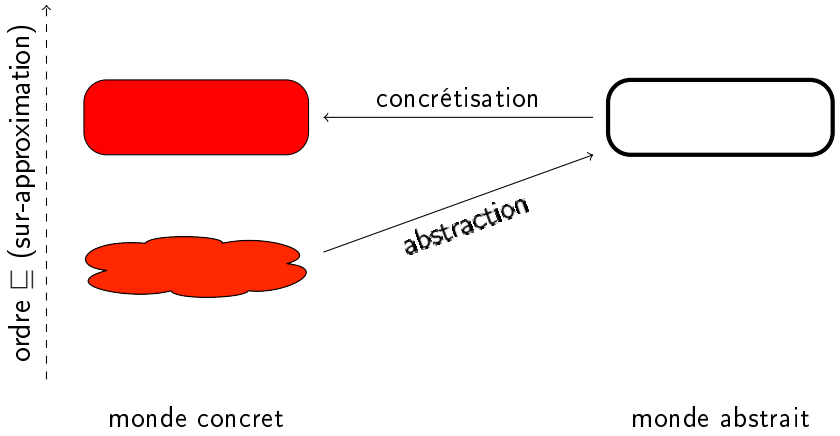

Sur-approximation

Définition (ordre $\sqsubseteq$ entre les objets concrets)

Un objet o' sur-approxime un objet o si :

- ils ont la même origine ;
- tout point de o est un point de o'.

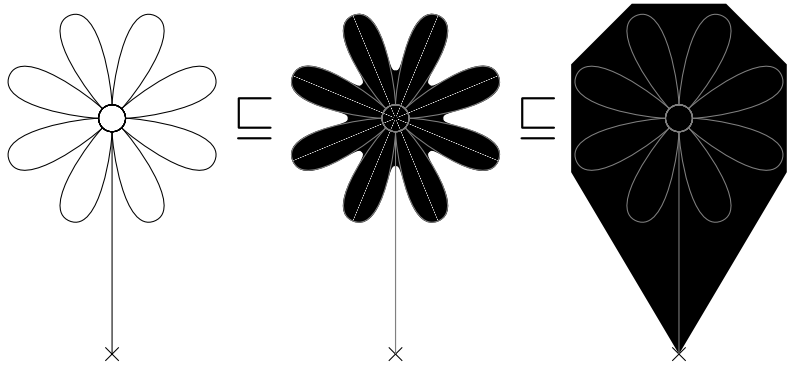

Les objets abstraits

Idée

Un objet abstrait est une représentation simplifiée d'un objet.

Exemple d'abstraction : contours

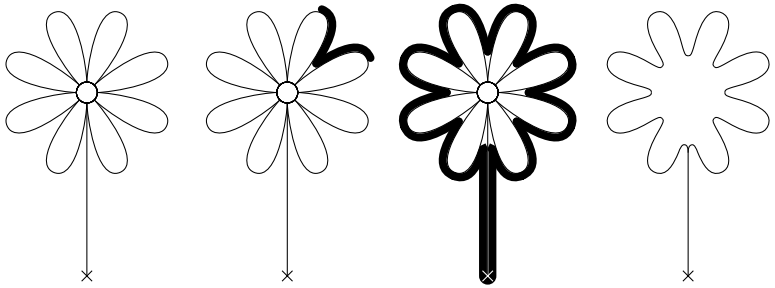

Autres exemples d'abstraction

Cercles centrés à l'origine

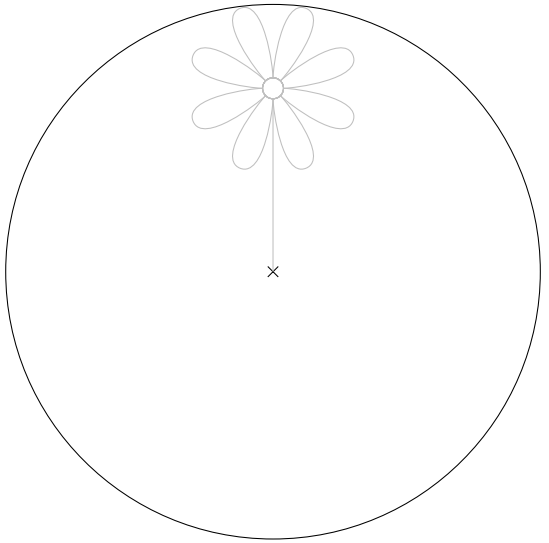

Polygones convexes

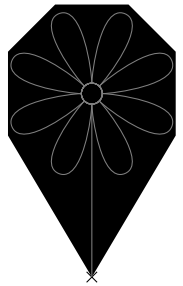

L'abstraction n'est pas injective

Attention

Plusieurs objets concrets peuvent être représentés par le même objet abstrait (sinon il n'y a pas vraiment d'abstraction).

Exemple : fleur et bouquet sont dans le même cercle

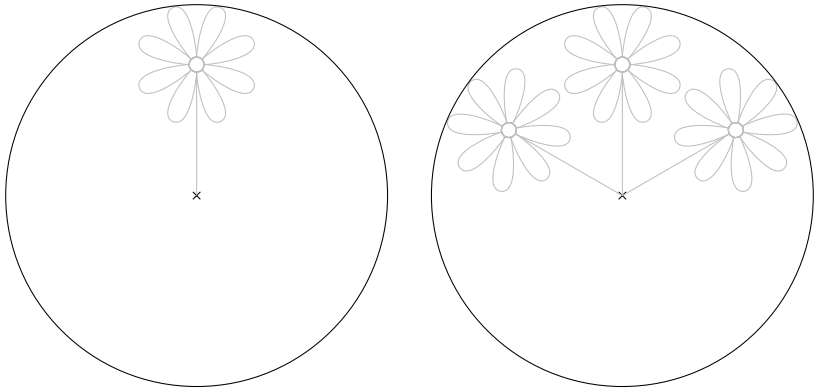

Concrétisation

Idée

La concrétisation est la « réciproque » de l'abstraction.

Exemple

- Pour contours et cercles : remplissage de l'intérieur

- Pour polygones : identité

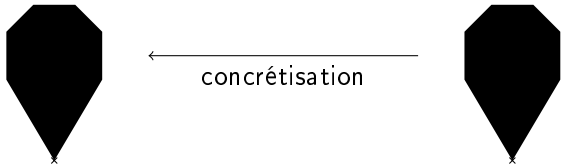

Sur-approximation dans l'abstrait

Définition (ordre $\sqsubseteq^\sharp$ entre les objets abstraits)

Dépend de l'abstraction choisie.

Exemples : $o \sqsubseteq^\sharp o'$ si :

- polygones convexes :
  - o et o' ont la même origine
  - o est inclus dans o'
- contour :
  - o et o' ont la même origine
  - l'intérieur de o est inclus dans celui de o'
- cercles centrés à l'origine :
  - le rayon de o est inférieur à celui de o'

Correction de l'ordre abstrait par rapport à l'ordre concret

Définition ($\sqsubseteq^\sharp$ abstrait correctement $\sqsubseteq$)

$$\forall o, o', \quad o \sqsubseteq^\sharp o' \Rightarrow \text{concrétisation}(o) \sqsubseteq \text{concrétisation}(o')$$

Exemple (cercles centrés à l'origine)

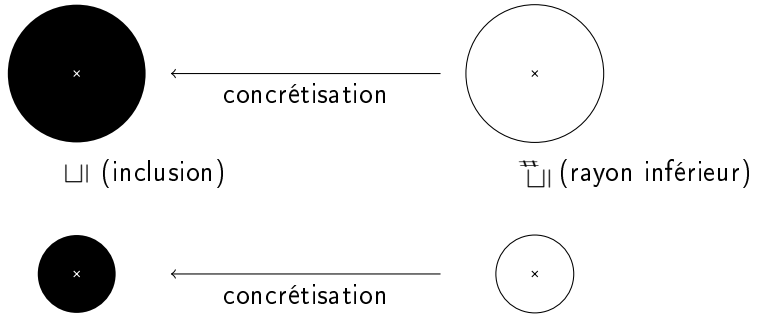

Notations

Définition (domaine abstrait $\mathcal{D}^\sharp$)

Un domaine abstrait spécifie :

- un ensemble $\mathcal{D}^\sharp$ d'éléments abstraits ;
- des opérations abstraites représentant dans l'abstrait l'utilisation des opérations concrètes dans le concret $\mathcal{D}$.

Définition (abstraction α)

Une fonction d'abstraction α associe à chaque objet concret o un objet abstrait $o^\sharp$, simplification de o.

Définition (concrétisation γ)

Une fonction de concrétisation γ associe à chaque objet abstrait $o^\sharp$ le plus grand objet concret o qu'il approxime.

Concret — Abstrait : résumé

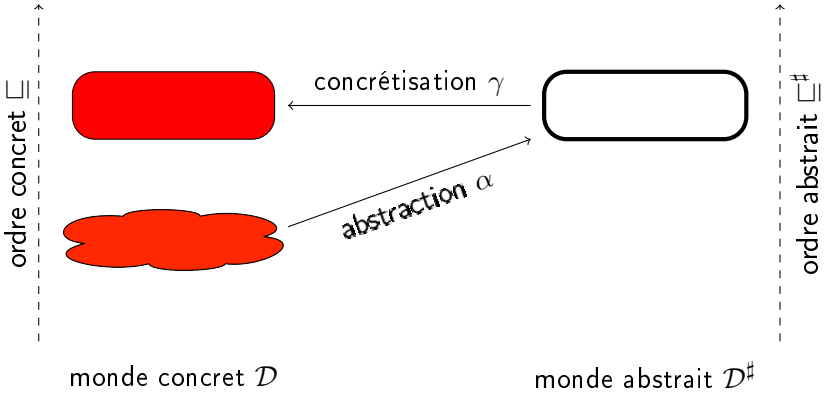

Comparaison d'abstractions

Abstractions différentes : pas toujours comparables

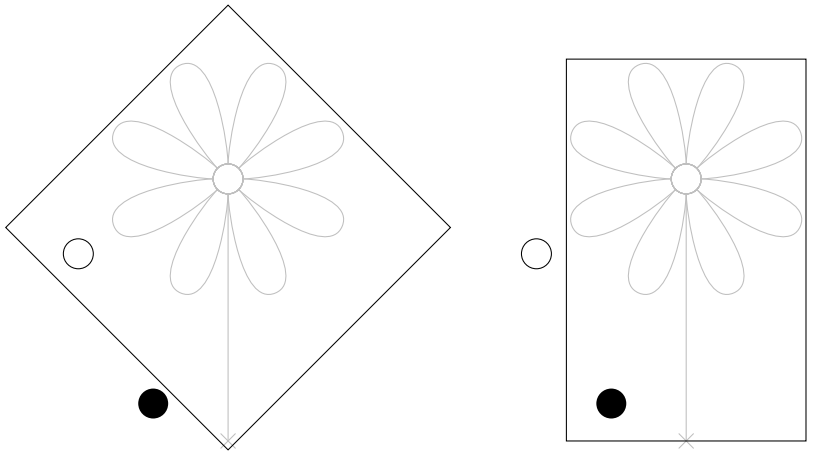

Meilleure abstraction : exemple

Si on n'autorise que les rectangles parallèles au bord,
on a une *meilleure* (i.e. plus petite) abstraction

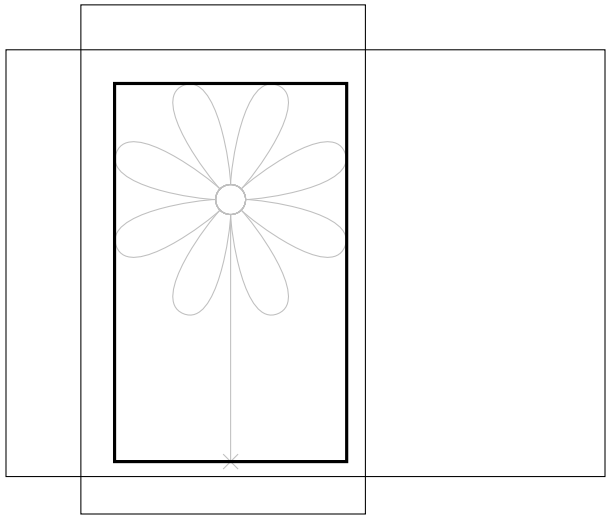

Meilleure abstraction : définition

Définition

Un objet o a une *meilleure abstraction* dans $\mathcal{D}^\sharp$
si l'ensemble des objets abstraits $o^\sharp \in \mathcal{D}^\sharp$ qui l'approximent
$\left\{ o^\sharp \in \mathcal{D}^\sharp \;\middle|\; o \sqsubseteq \gamma(o^\sharp) \right\}$ a un minimum.

Exemple

- La fleur n'a pas de meilleure abstraction
  dans le monde des rectangles quelconques.
- La fleur a une meilleure abstraction
  dans le monde des rectangles parallèles au bord.

C.f. deux slides précédentes.

Meilleure abstraction : exemples

Exemple

- Tout objet a une meilleure abstraction
  dans le monde des contours (et c'est le contour).
- Tout objet a une meilleure abstraction
  dans le monde des cercles centrés à l'origine
  (et c'est le cercle circonscrit).
- Certains objets n'ont pas de meilleure abstraction
  dans le monde des polygones convexes (ex. un cercle).

Correspondance de Galois

Définition

(α, γ) forme une *correspondance de Galois* entre $\mathcal{D}$ et $\mathcal{D}^\sharp$ si :

$$\forall x \in \mathcal{D}, \forall y \in \mathcal{D}^\sharp, \quad \alpha(x) \sqsubseteq^\sharp y \Leftrightarrow x \sqsubseteq \gamma(y).$$

Exemple

- (contour, remplissage) est une correspondance de Galois
  entre le monde concret et le monde des contours.
- (cercle circonscrit, remplissage) est une correspondance de
  Galois entre le monde concret et le monde des cercles.
- Il n'existe pas de correspondace de Galois
  entre le monde concret et le monde des polygones convexes.

Correspondance de Galois et meilleure abstraction

Théorème

Il existe une correspondance de Galois (α, γ) entre $\mathcal{D}$ et $\mathcal{D}^\sharp$
si et seulement si
tout objet de $\mathcal{D}$ a une meilleure abstraction dans $\mathcal{D}^\sharp$
(et la meilleure abstraction est alors donnée par α).

Opérations abstraites et leur correction

Pour manipuler les objets abstraits, on a besoin d'opérations
$const^\sharp : \mathcal{D}^\sharp$, $unaire^\sharp : \mathcal{D}^\sharp \to \mathcal{D}^\sharp$ ou $binaire^\sharp : (\mathcal{D}^\sharp \times \mathcal{D}^\sharp) \to \mathcal{D}^\sharp$
alter ego des opérations concrètes
const (ex. pétale), *unaire* (ex. rotation) ou *binaire* (ex. union).

Définition (correction des opérations abstraites)

- $const \sqsubseteq \gamma(const^\sharp)$
- $\forall x \in \mathcal{D}^\sharp, \quad unaire(\gamma(x)) \sqsubseteq \gamma(unaire^\sharp(x))$
- $\forall x, y \in \mathcal{D}^\sharp, \quad binaire(\gamma(x), \gamma(y)) \sqsubseteq \gamma(binaire^\sharp(x, y))$

Très important (les opérations abstraites n'ont aucun sens sinon).

Illustration de la correction

Dans le monde des rectangles *parallèles au bord*.

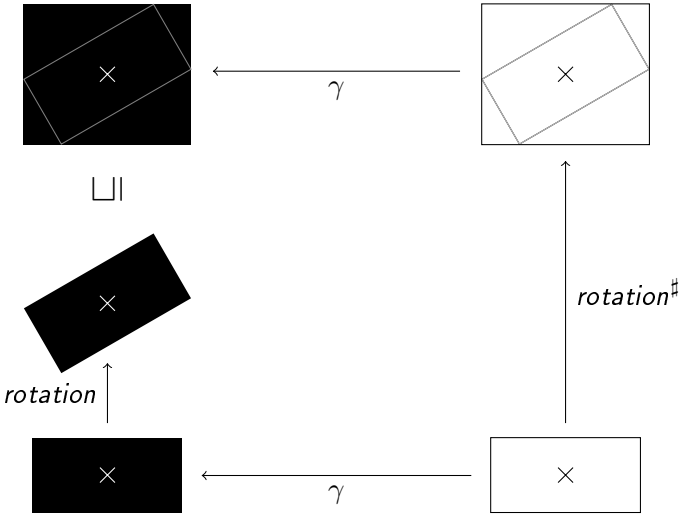

On a bien $rotation(\gamma(.)) \sqsubseteq \gamma(rotation^\sharp(.))$.

En présence d'une meilleure abstraction

Les meilleures opérations abstraites sont définies par :

- $const^\sharp = \alpha(const)$
- $unaire^\sharp(x) = \alpha(unaire(\gamma(x)))$
- $binaire^\sharp(x, y) = \alpha(binaire(\gamma(x), \gamma(y)))$
- ...

Pétale abstrait

On reprend l'abstraction « contours ».

Définition

$const^\sharp = \alpha(const)$:

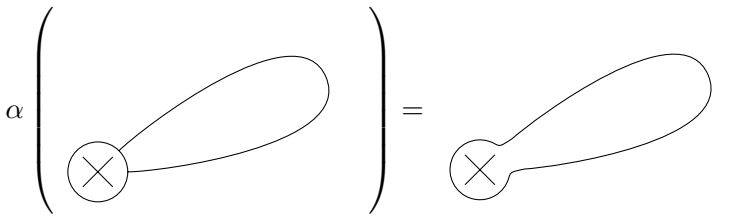

Rotation abstraite

Définition

$unaire^\sharp(.) = \alpha(unaire(\gamma(.))$:

$$\mathrm{r}^\sharp[a](x) = \alpha(\mathrm{r}[a](\gamma(x))) = \mathrm{r}[a](x)$$

Exemple

$\mathrm{r}^\sharp[45]$ 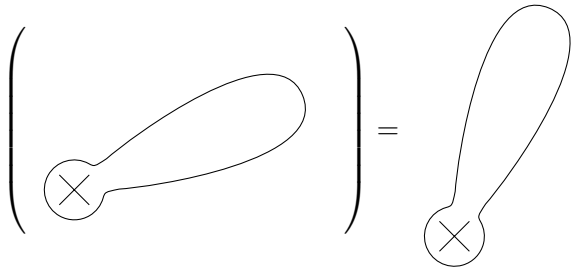 =

Remarque : l'opération est *exacte*

$$\mathrm{r}[a](\gamma(x)) = \gamma(\mathrm{r}^\sharp[a](x))$$

Tige abstraite

Définition

$unaire^\sharp(.) = \alpha(unaire(\gamma(.))$:

$$\mathrm{tige}^\sharp[a](x) = \alpha(\mathrm{tige}[a](\gamma(x)))$$

Exemple

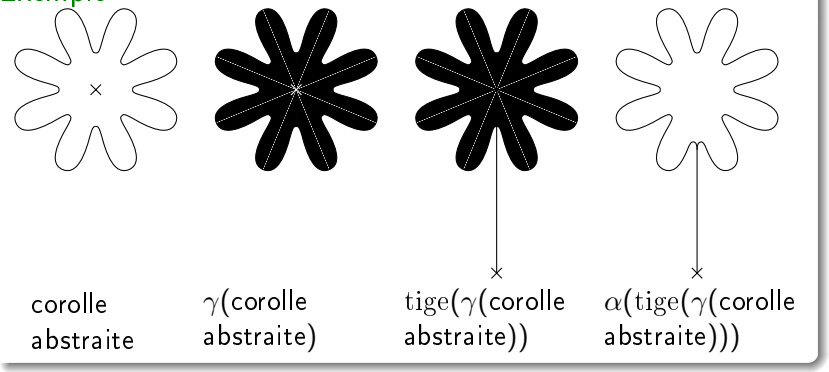

Union abstraite

Définition

$binaire^\sharp(.,.) = \alpha(binaire(\gamma(.), \gamma(.))$:

$$x \sqcup^\sharp y = \alpha(\gamma(x) \cup \gamma(y))$$

Exemple

Point fixe abstrait pour la corolle

- On avait défini : corolle $= \mathrm{lfp} F$
  avec $F : X \mapsto$ pétale $\sqcup\ \mathrm{r}[45](X)$.
- On définit : corolle abstraite $= \mathrm{lfp} F^\sharp$
  avec $F^\sharp : X \mapsto$ pétale abstrait $\sqcup^\sharp\ \mathrm{r}^\sharp[45](X)$.
- Toutes les opérations élémentaires sont correctes
  donc par construction la corolle abstraite approxime bien
  la vraie corolle (corolle $\sqsubseteq \gamma$(corolle abstraite)).

Cadre général de l'interprétation abstraite

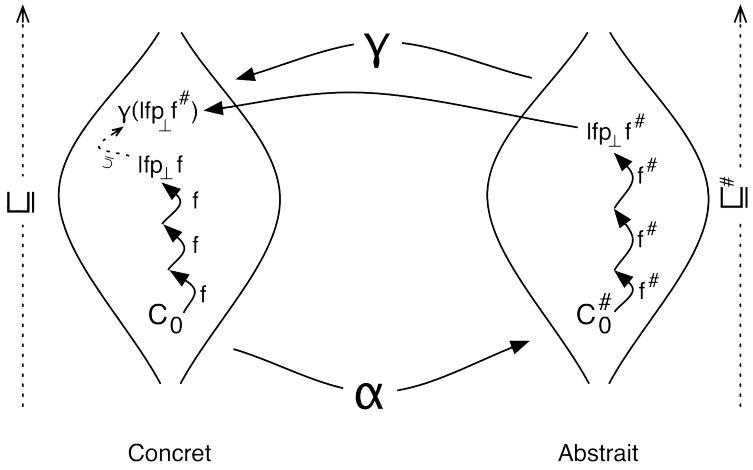

Un langage jouet

Syntaxe

$stm ::= v = expr\,; \mid stm\ stm$
$\quad \mid$ **if** $(expr > 0)$ **{** stm **}** **else** **{** stm **}**
$\quad \mid$ **while** $(expr > 0)$ **{** stm **}**

$expr ::= v \mid n \mid \mathbf{rand}(n, n)$
$\quad \mid expr + expr \mid expr - expr \mid expr \times expr \mid expr/expr$

$v \in \mathbb{V}$, un ensemble de variables

$n \in \mathbb{Z}$ (on ne manipule que des entiers)

rand(n_1, n_2) représente le choix aléatoire d'un entier entre n_1 et n_2 (sert à simuler une entrée).

Suite très inspirée du cours de A. Miné au MPRI.

Un langage jouet (suite et fin)

Exemple

```
x = rand(0, 12); y = 42;
while (x > 0) {
    x = x − 2;
    y = y + 4;
}
```

Une exécution
(valeurs à l'entrée de la boucle) :

x	7	5	3	1	-1
y	42	46	50	54	58

Remarques

- un langage très simple, sans fonctions, sans...
- mais représentatif d'un langage impératif comme C
- dont c'est d'ailleurs un sous ensemble
- et on peut tout calculer (c'est Turing-complet)

Graphe de flot de contrôle

On va utiliser les graphes de flot de contrôle des programmes

Définition

Un *graphe de flot de contrôle* (L, A) est composé d'un ensemble de points de programme L, d'un point d'entrée $0 \in L$ et d'arêtes $A \subseteq L \times com \times L$ avec :
$com ::= v = expr \mid expr > 0$

Exemple

$_0\mathrm{x} = \mathbf{rand}(0,\ 12)\,;{}_1\mathrm{y} = 42\,;$
while $_2(\mathrm{x} > 0)$ **{**
  $_3\mathrm{x} = \mathrm{x} - 2\,;$
  $_4\mathrm{y} = \mathrm{y} + 4\,;$
}$_5$

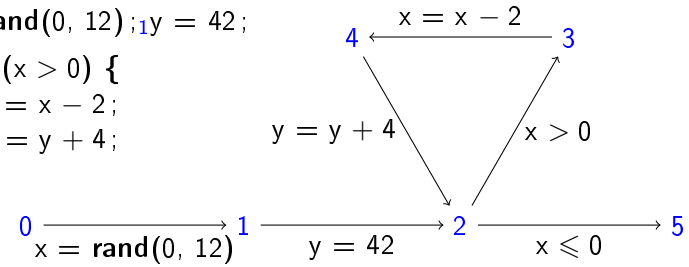

Sémantique concrète, expressions

Sémantique des expressions : $[\![e]\!]_{\mathrm{E}} : (\mathbb{V} \to \mathbb{Z}) \to \mathcal{P}(\mathbb{Z})$

$$
\begin{array}{ll}
[\![v]\!]_{\mathrm{E}}(\rho) & = \{\rho(v)\} \\
[\![n]\!]_{\mathrm{E}}(\rho) & = \{n\} \\
[\![\mathbf{rand}(n_1, n_2)]\!]_{\mathrm{E}}(\rho) & = \{n \in \mathbb{Z} \mid n_1 \leqslant n \leqslant n_2\} \\
[\![e_1 + e_2]\!]_{\mathrm{E}}(\rho) & = \{n_1 + n_2 \mid n_1 \in [\![e_1]\!]_{\mathrm{E}}(\rho) \wedge n_2 \in [\![e_2]\!]_{\mathrm{E}}(\rho)\} \\
\ldots &
\end{array}
$$

Remarque : environnement

On nomme généralement *environnement* les fonctions $\rho : \mathbb{V} \to \mathbb{Z}$ qui associent une valeur à chaque variable.

Sémantique concrète, expressions (suite et fin)

Remarque : cas d'erreur

On peut rencontrer deux types d'erreur à l'exécution :

- $\mathbf{rand}(n_1, n_2)$ avec $n1 > n2$:
  $[\![\mathbf{rand}(n_1, n_2)]\!]_{\mathrm{E}} = \{x \in \mathbb{Z} \mid n_1 \leqslant x \leqslant n_2\} = \emptyset$;
- division par zéro : $[\![e/0]\!]_{\mathrm{E}} = \emptyset$.

On suppose donc que le programme lève une exception et abandonne son exécution dans ces deux cas.

Sémantique concrète, commandes

Sémantique des commandes : $[\![c]\!]_{\mathrm{C}} : \mathcal{P}(\mathbb{V} \to \mathbb{Z}) \to \mathcal{P}(\mathbb{V} \to \mathbb{Z})$

$$[\![v = e]\!]_{\mathrm{C}}(R) = \{\rho[v \mapsto n] \mid \rho \in R, n \in [\![e]\!]_{\mathrm{E}}(\rho)\}$$
$$[\![e > 0]\!]_{\mathrm{C}}(R) = \{\rho \mid \rho \in R, \exists n \in [\![e]\!]_{\mathrm{E}}(\rho), n > 0\}$$

Remarque : $e \leqslant 0$

$e \leqslant 0$ n'est qu'une jolie façon d'écrire $1 - e > 0$ (sucre syntaxique).

Sémantique concrète, programme

Sémantique des programmes : $[\![(L, A)]\!] : L \to \mathcal{P}(\mathbb{V} \to \mathbb{Z})$

À chaque point de programme, on associe le meilleur invariant.

C'est la plus petite solution (au sens de l'inclusion $\subseteq$) du système

$$\begin{cases} R_0 = \mathbb{V} \to \mathbb{Z} \\ R_{l'} = \bigcup\limits_{(l,c,l') \in A} [\![c]\!]_{\mathrm{C}}(R_l) & l' \neq 0 \end{cases}$$

Une telle solution existe toujours
d'après le théorème de Knaster-Tarski...

Exemple

```
0x = rand(0, 12);1y = 42;
while 2(x > 0) {
    3x = x − 2;
    4y = y + 4;
}5
```

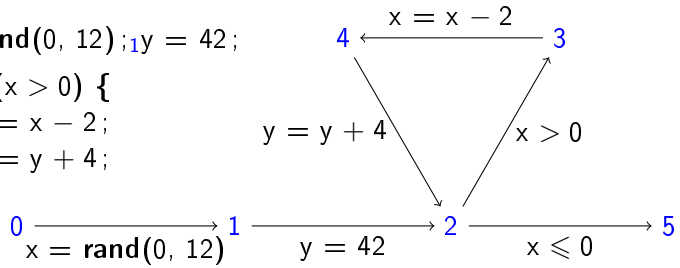

équations	plus petite solution
$R_0 = \{x \in \mathbb{Z}, y \in \mathbb{Z}\}$	$= \{x \in \mathbb{Z}, y \in \mathbb{Z}\}$
$R_1 = \{x \in [\![0, 12]\!], y \in \mathbb{Z}\}$	$= \{x \in [\![0, 12]\!], y \in \mathbb{Z}\}$
$R_2 = R_1[y \mapsto 42] \cup R_4[y \mapsto y + 4]$	$= \{x \in [\![-1, 12]\!], y \in [\![42, 66]\!] \cap 4\mathbb{Z} + 2 \mid 2x + y \in [\![42, 66]\!]\}$
$R_3 = R_2 \cap \{x > 0, y \in \mathbb{Z}\}$	$= \{x \in [\![1, 12]\!], y \in [\![42, 66]\!] \cap 4\mathbb{Z} + 2 \mid 2x + y \in [\![42, 66]\!]\}$
$R_4 = R_3[x \mapsto x - 2]$	$= \{x \in [\![-1, 10]\!], y \in [\![42, 66]\!] \cap 4\mathbb{Z} + 2 \mid 2x + y \in [\![38, 62]\!]\}$
$R_5 = R_2 \cap \{x \leqslant 0, y \in \mathbb{Z}\}$	$= \{x \in [\![-1, 0]\!], y \in [\![42, 66]\!] \cap 4\mathbb{Z} + 2 \mid 2x + y \in [\![42, 66]\!]\}$

Rappels

Définition (ordre)

Un *ordre* $\sqsubseteq$ est une relation binaire

- réflexive $(\forall x, x \sqsubseteq x)$;
- transitive $(\forall x, y, z, (x \sqsubseteq y \wedge y \sqsubseteq z) \Rightarrow x \sqsubseteq z)$;
- antisymétrique $(\forall x, y, (x \sqsubseteq y \wedge y \sqsubseteq y) \Rightarrow x = y)$.

Définition (borne supérieure)

Une *borne supérieure* $\bigsqcup : \mathcal{P}(S) \to S$ associe à tout sous ensemble S' de S son plus petit majorant

- $\forall x \in S', x \sqsubseteq \bigsqcup S'$
- $\forall y \in S, (\forall x \in S', x \sqsubseteq y) \Rightarrow \bigsqcup S' \sqsubseteq y$

Treillis complet

Définition (treillis complet)

Un ensemble S muni d'un ordre $\sqsubseteq$ est un *treillis complet* s'il admet une borne supérieure $\bigsqcup S'$.

Un treillis complet est automatiquement muni

- d'une borne inférieure (plus grand minorant) : $\bigsqcap S' = \bigsqcup \{x \mid \forall y \in S', x \sqsubseteq y\}$;
- d'un plus petit élément (bottom) : $\bot = \bigsqcup \emptyset = \bigsqcap S$;
- d'un plus grand élément (top) : $\top = \bigsqcup S = \bigsqcap \emptyset$.

Exercice

Prouver la première propriété (borne inférieure).

Treillis complet, exemples

Exemple

$\mathbb{Z}$ n'est pas un treillis complet ($\bigsqcup \mathbb{Z}$ n'existe pas).

Exemple

$\overline{\mathbb{Z}} = \mathbb{Z} \cup \{-\infty, +\infty\}$ est un treillis complet.

Exercice

- Montrer que pour tout ensemble S, l'*ensemble de ses parties* $\mathcal{P}(S)$ muni de l'ordre inclusion $\subseteq$ est un treillis complet.
- À quoi correspondent la borne supérieure $\sqcup$? la borne inférieure $\sqcap$? $\bot$ et $\top$?

Treillis complet, autres exemples

Exercice

Soit A un ensemble quelconque et $(B, \sqsubseteq_B)$ un treillis complet, montrer que $A \to B$, les *fonctions* de A dans B forment un treillis complet muni de l'ordre usuel sur les fonctions $f \sqsubseteq_{A \to B} g$ si pour tout $x \in A$, $f(x) \sqsubseteq_B g(x)$.

Exemple

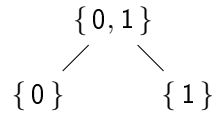

n'est pas un treillis complet ($\bigsqcup \emptyset$ n'existe pas).

Exemple

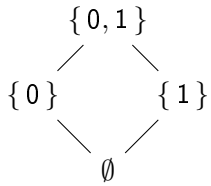

est un treillis complet (c.f. exercice du slide précédent).

Théorème de Knaster-Tarski

Définition

Une fonction f d'un treillis complet dans lui même est *croissante* si

$$\forall x, y \in S, \quad x \sqsubseteq y \Rightarrow f(x) \sqsubseteq f(y)$$

Théorème

Si S est un treillis complet et f une fonction croissante sur ce treillis alors f admet un plus petit point fixe

$$\mathrm{lfp}\, f = \bigsqcap \{x \in S \mid f(x) \sqsubseteq x\}.$$

Théorème de Knaster-Tarski, illustration

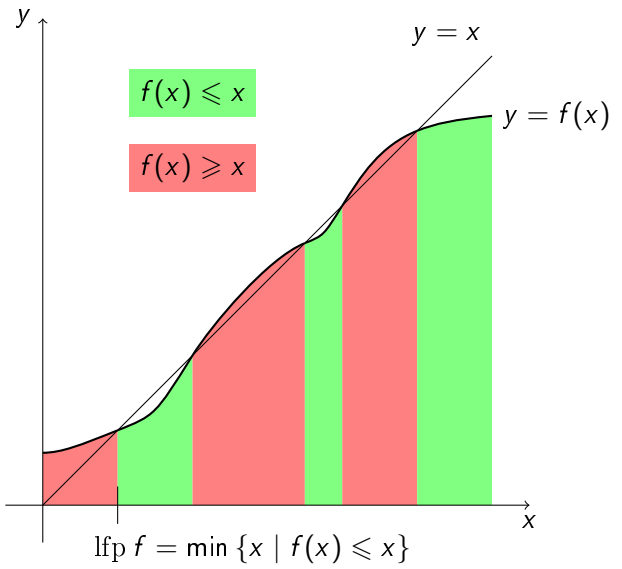

Théorème de Knaster-Tarski, démonstration

Notons $P = \{x \in S \mid f(x) \sqsubseteq x\}$ et $p = \bigsqcap P$.

- p est un point fixe :
  - Soit $x \in P$ quelconque (P est non vide car $\top \in P$), $p \sqsubseteq x$ donc par croissance de f, $f(p) \sqsubseteq f(x)$ et $f(x) \sqsubseteq x$ car $x \in P$ donc $f(p) \sqsubseteq x$.
    Ainsi $f(p)$ est un minorant de P donc $f(p) \sqsubseteq p$ ($p = \bigsqcap P$).
  - Par croissance de f, $f(f(p)) \sqsubseteq f(p)$ donc $f(p) \in P$.
    Or $p = \bigsqcap P$ donc $p \sqsubseteq f(p)$.
  - Ainsi $p = f(p)$.
- et c'est le plus petit :
  - Tous les point fixes sont dans P (si $f(x) = x$ alors $f(x) \sqsubseteq x$).
  - p est un minorant de P.

Notre système a une solution

- $L \to \mathcal{P}(\mathbb{V} \to \mathbb{Z})$ est un treillis complet (c.f. exercices).
- La fonction $F : (L \to \mathcal{P}(\mathbb{V} \to \mathbb{Z})) \to (L \to \mathcal{P}(\mathbb{V} \to \mathbb{Z}))$

$$F(R) = \begin{cases} 0 & \mapsto & (\mathbb{V} \to \mathbb{Z}) \\ l' & \mapsto & \bigcup\limits_{(l,c,l') \in A} [\![c]\!]_{\mathrm{C}}\,(R(l)) \end{cases}$$

  est croissante.
- Donc notre sémantique est bien définie.